

РАЗЛИЧИЯ В ПОВЕДЕНИИ СТРУКТУРНЫХ ФУНКЦИЙ АННИГИЛЯЦИИ И ГЛУБОКО НЕУПРУГОГО РАССЕЯНИЯ

М.Г.Рыскин, Ю.Л.Докшицер

Проанализированы причины нарушения соотношения Грибова – Липатова $D_{eN}(x, Q^2) = \bar{D}_{e^+e^-}(x, Q^2)$ в области малых x . При $x \rightarrow x_{min} \sim \sqrt{q_0^2 / Q^2} D_{eN} \gg \bar{D}_{e^+e^-}$.

Как хорошо известно, структурные функции глубоко неупругого рассеяния $-D_A^B(x, q^2)$ (описывающие вероятность найти в партоне A партон B с виртуальностью q^2 , несущий долю импульса x частицы A) и e^+e^- -аннигиляции $-\bar{D}_A^B(x, q^2)$ (описывающие вероятность найти партон B с долей импульса x в партоне A , имеющем виртуальность q^2) совпадают в области относительно больших значений бьеркеновской переменной $x \sim 1$ [1, 2]

$$\bar{D}_A^{B-}(x, Q^2) = D_A^B(x, Q^2). \quad (1)$$

Это равенство, соответствующее соотношению Грибова – Липатова [3], было доказано в рамках главного логарифмического приближения (ГЛП) теории поля, когда каждая степень малой константы связи α_s уравнивается большим логарифмом виртуальности $\ln q^2$.

В настоящей работе мы покажем, что соотношение (1) перестает выполняться в области малых $x \ll 1$ ($\alpha_s \ln x^{-1} \gg 1$) и обсудим те кинематические причины, которые вызывают различия в поведении структурных функций e^+e^- -аннигиляции и глубоко неупругих ($e(\nu)N$) процессов. 1) Первая состоит в том, что в $e(\nu)N$ -столкновениях партоны мишени налетают на протоны виртуального фотона (Z, W -бозона). Поэтому при $x \ll 1$, когда плотность партонов xD резко нарастает, движущиеся в одном направлении партоны мишени начинают слипаться и затенять друг друга.

В аннигиляции же мы имеем дело с последовательными распадами тяжелых партонов (с положительной виртуальностью q_i^2). При каждом распаде ($q_i \rightarrow q_{i+1} + q$), вновь образовавшиеся частицы разлетаются (в системе покоя q_i) в разные стороны и практически не успевают провзаимодействовать еще раз.

Таким образом, в аннигиляции (по сравнению с $e(\nu)N$) отсутствует целый класс диаграмм, отвечающих процессам перерассеяния партонов. Приведем формальное доказательство.

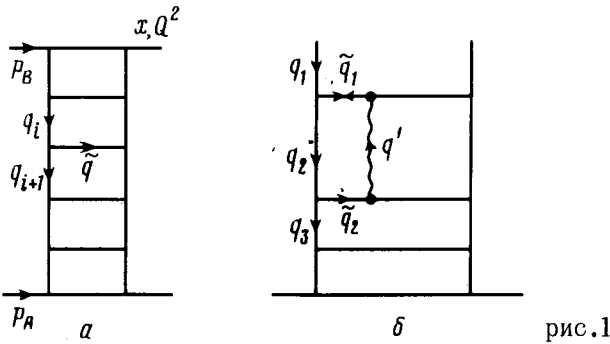


рис.1

А. Наряду с обычными лестничными графиками рис.1, a , структура которых одинакова в e^+e^- и в $e(\nu)N$ -столкновениях, в глубоко неупругом рассеянии большой вклад ($\sim \alpha_s \ln x^{-1}$) дает диаграмма 1, b , отвечающая реджезации глюона с импульсом q_2 [4] ¹⁾. В судаковских переменных [5] ($q_\mu = \alpha p_{B\mu} + \beta p_{A\mu} + q_{t\mu}$) множителю $\ln x^{-1}$ соответствует область интегрирования по a' : $\tilde{\alpha}_1 \approx \alpha_1 \gg \alpha' \gg \alpha_2 \sim \tilde{\alpha}_2$. Так как переменные β_i в случае $e(\nu)N$ текут навстречу α_i ($\tilde{\beta}_2 \gg -\beta_2 \sim -\tilde{\beta}_1 \gg -\beta_1$) виртуальности $\tilde{q}_2^2 \approx \tilde{q}_{2t}^2$ и $q^{t2} \approx q_{t2}^2$ определяются только поперечными импульсами q_{2t} и q_{t2} , а величина a' (после замыкания контура по β' на полюс $1/\tilde{q}_1^2$) оказывается существенной только в пропагаторе $1/\tilde{q}_2^2 \approx x/\alpha' \tilde{\beta}_2 Q^2$; что и дает логарифмический интеграл da'/a' .

В аннигиляции и α_i , и β_i текут в одну сторону ²⁾ (от виртуального фотона). Значение $\beta_2 \approx \tilde{\beta}_2$ теперь велико. В результате, мы получаем

¹⁾Здесь мы воспользуемся, для определенности, фейнмановской калибровкой.

²⁾Импульс P_B выбран в направлении, интересующего нас партона B , $p_{B0} = p_{A0} = |P_B| = \sqrt{Q^2/2}$; $P_A = -P_B$.

еще один большой пропагатор $1/q_2^2 \approx 1/a' \beta_2 Q^2 \approx 1/\tilde{q}_2^2$, нарушающий логарифмический характер интегрирования по da' . Итак, показано, что в случае e^+e^- вклад диаграммы 1, б пропорционален просто константе связи $\alpha_s(q_2^2)$, т.е. пренебрежимо мал. Эта малость является отражением распадной кинематики. Реджезации глюона q_2 отвечает фактор $(s_{12}/M^2)^{\alpha_s}$, где $s_{12} = (\tilde{q}_1 + \tilde{q}_2)^2$, а в качестве массы M^2 следует выбрать наибольшую массу q_1^2 . И если в $e(\nu)N$ отношение $s_{12}/q_1^2 \sim 1/x$, то в e^+e^- $s_{12}/q_1^2 \ll 1$ и $(s_{12}/q_1^2)^{\alpha_s} \sim \alpha_s \ln(s_{12}/q_1^2) \sim \alpha_s$.

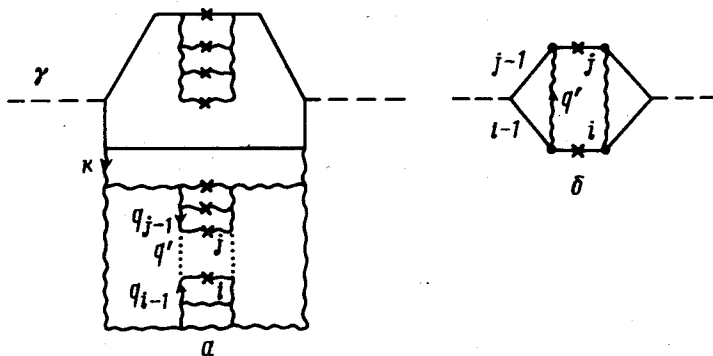


Рис.2

Б. Диаграмма 1, б, по существу, описывала взаимодействие двух ближайших партонов. Возникает вопрос, не окажется ли, что вероятность перерасеяния пары более удаленных партонов w , тем не менее, велика и содержит лишнюю степень плотности партонов \tilde{D} ($w \propto \alpha_s \tilde{D}$?).

Как мы сейчас покажем, такого не происходит. Действительно, любые два партона (i и j на рис.2) образовались в результате распада некоторого тяжелого партона k и в системе его покоя летят в разные стороны. Взаимодействие между ними может осуществлять только легкий глюон q' , испущенный назад по отношению к направлению струи i . Вероятность такого испускания, как мы видели на примере рис.1, б, не содержит больших логарифмов ($\ln x$ или $\ln Q^2$) и пропорциональна $\alpha_s \ll 1$. Вероятность поглощения глюона q' струей j (а точнее, всей группой частиц, расположенных на рис.2 выше зафиксированного нами партона i) не может превышать единицы, даже при $\tilde{D} \rightarrow \infty$. Поэтому вклад всякого перерасеяния партонов в аннигиляции $\lesssim \alpha_s \ll 1$.

Более того, так как энергия q' много меньше энергии партонов i и j и никаких квантовых чисел (кроме цвета) он не переносит, обмен глюоном практически не изменяет никаких инклюзивных распределений. Формально это проявляется в том, что при замыкании контура интегрирования по β' на полюса $1/q_{i-1}^2$ и $1/q_j^2$ (и т.д.) их вклады сокращаются между собой (что особенно легко проверить на примере диаграммы рис.2, б).

Итак, в аннигиляции (в отличие от $e(\nu)N$) при малых x остаются только лестничные диаграммы рис.1, а. 2) Однако распадная кинематика e^+e^- создает и одно дополнительное усложнение. Если в глубоко неупругом случае, где на каждом этапе один из партонов имел отрицатель-

ную виртуальность $q_i^2 < 0$, отношение импульсов a_{i+1}/a_i могло меняться от 0 до единицы, то в аннигиляции, где все массы положительны, возникает чисто кинематическое ограничение $a_{i+1}/a_i \geq q_{i+1}^2/q_i^2$. Поэтому вероятности распадов, т.е. ядра соответствующего уравнения Бете – Солпитера [2, 6], с помощью которого суммируются лестничные диаграммы рис.1, а, необходимо домножить на $\theta\left(\frac{a_{i+1}}{a_i} - q_{i+1}^2/q_i^2\right)$.

Решая полученное уравнение (методом, описанным в работе¹⁾), мы получим в области малых x

$$\bar{D}(x, Q^2, q_0^2) \propto \exp \left[4 \sqrt{\frac{N}{\beta_2}} \left(\sqrt{\ln Q^2} - \sqrt{\ln q_0^2} \right) - \sqrt{\frac{9N}{2\beta_2}} (y - \ln x^{-1})^2 / y^{3/2} \right] \quad (2)$$

где $N=3$ – число цветов, $\beta_2 = 11N/3 - 2n_F/3$ – старший коэффициент функции Гелл-манна – Лоу; q_0^2 – виртуальность регистрируемого партона, $y = \frac{1}{2} (\ln Q^2 - \ln q_0^2)$ – ширина плато.

Подчеркнем, что функция \bar{D} существенно отличается от структурной функции глубоко неупругого рассеяния. Как было показано в работе [8], в той же области $\ln x \sim \frac{1}{2} \ln Q^2$

$$D(x, Q^2) \propto \exp \left[4 \sqrt{\frac{N}{\beta_2}} \ln x^{-1} \ln \frac{\ln Q^2}{\sqrt{\ln 1/x}} \right] \gg \bar{D}(x, Q^2).$$

Мы благодарны Я.И.Азимову, Е.М.Левину, Л.Н.Липатову и В.А.Хозе за обсуждения.

Институт ядерной физики
им. Б.П.Константинова
Академии наук СССР

Поступила в редакцию
11 января 1981 г.

Литература

- [1] Л.Н.Липатов. ЯФ, **20**, 181, 1974.
- [2] Ю.Л.Докшицер. ЖЭТФ, **71**, 1216, 1977.
- [3] В.Н.Грибов, Л.Н.Липатов. ЯФ, **15**, 781, 1218, 1972.
- [4] Э.А.Кураев, Л.Н.Липатов, В.С.Фадин. ЖЭТФ, **72**, 377, 1977.
- [5] В.В.Судаков. ЖЭТФ, **30**, 187, 1956.
- [6] G.Altarelli, G.Parisi. Nucl. Phys., **B126**, 298, 1977.
- [7] Л.В.Грибов, Е.М.Левин, М.Г.Рыскин. Препринт ЛИЯФ №605, август 1980,

¹⁾Я.И.Азимов, Ю.Л.Докшицер, Е.М.Левин, М.Г.Рыскин, В.А.Хозе. Направлено в ЖЭТФ.